

201-① 自由車・追従車の分離に基づいた車頭間隔分布モデル

山口大学 正員 田村洋一
九州大学 正員 橋木 武

1.はじめに 車頭間隔分布に関する従来の研究は多様であるが、その中で代表的なものは、交通流を自由車、追従車の二面構成としてとらえ、それそれに基づいた分布を仮定して複合分布モデルの適用である。この研究は Schuh の複合指數分布に始まるが、多くの研究に共通する根本的な問題は、交通流の自由車、追従車構成は単に複合モデル仮定の理念として用いられ、具体的な諸分布のパラメータは、観測データより総括的推定されることである。このため、元々このモデルはデータの良好な表現になり得ることでも、交通流の内部構造把握に直接寄与するものではなく、諸交通状態に対する汎用性、交通流運動の内部構造解明といった点であります。疑問が残る。上述の問題点をふまえ本研究では、交通流が自由車、追従車より構成されることを前提とし、その内部構造が把握できること、現象に対する適合性が高く、交通状態の広汎な変化に対して汎用性があることを意図し、新たな車頭間隔分布モデルの構造をはかるものである。

2.自由車率の定義と誘導 進行する2台の車の速度差と相対速度(Δ)と呼ぶことにする。また先行車の影響を受けて速度低下を生じている車を追従車と定義する。図1においては、相対速度分布の変化は、車頭時間に応じて自由車割合の多少を反映するものと解釈でき、その分散は、すべての車が自由走行しているとき最大、すべての車が追従走行に至ると最小になると考えられる。そこで、相対速度分布の密度関数 $\phi(\Delta)$ 、 $\phi_f(\Delta)$ 、 $\phi_g(\Delta)$ をそれぞれ、相対速度分布、全車自由走行時の相対速度分布、全車追従走行時の相対速度分布の密度関数とし、 α を $\phi(\Delta)$ にあり、 $\phi_f(\Delta)$ の占める割合とし、次式を仮定する。

$$\phi(\Delta) = \alpha \phi_f(\Delta) + (1-\alpha) \phi_g(\Delta) \quad \dots \dots (1)$$

式(1)より相対速度の分散に関して、次式がえられる。

$$V = \alpha V_f + (1-\alpha) V_g \quad \dots \dots (2)$$

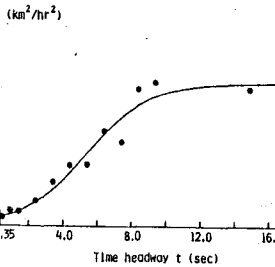


図2. 相対速度の分散と車頭時間との関係

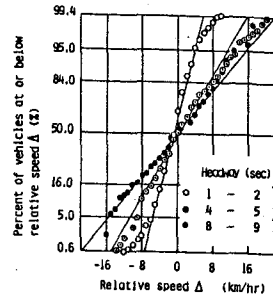


図1. 相対速度分布の変化

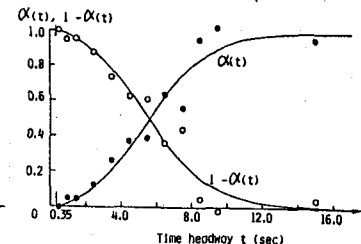


図3. 自由車率、追従車率

この図に關して観測結果をプロットすると図2. a とうりで、 V_f 、 V_g は、 V の最大値、最小値であり、それより、全車自由走行、全車追従走行時の相対速度の分散が、式(2)と α について解くと次式がえられる。

$$\alpha = \frac{V - V_g}{V_f - V_g} \quad \dots \dots (3) \quad 1-\alpha = \frac{V_f - V}{V_f - V_g} \quad \dots \dots (4)$$

ここで、 α は車頭時間の関数として表わされ、結局、 α は車頭時間の関数となる。すなむち $\alpha = \alpha(t)$ であり α は車頭時間 t で走行する車における自由車の割合を表すものと考えられ、この意味でこれを自由車率と呼ぶこととする。問題となるのは、 V と t との関係であるが、

この図に關して観測結果をプロットすると図2. a とうりで、データプロットの傾向からみて、 $V(t)$ の関数形としてロジスティック曲線を仮定することが妥当であると考えられる。すなむち、

$$V(t) = \frac{K}{1 + m e^{-a(t-t_0)}} \quad \dots \dots (5)$$

ここで、 K 、 m 、 a : 定数、 t_0 : 最小車頭時間

式(5)を式(3)(4)に代入し整理すれば、 $\alpha(t)$ 、 $1-\alpha(t)$ とし

て結局、次式がえられる。

$$\alpha(t) = \frac{1 - e^{-a(t-t_0)}}{1 + m e^{-a(t-t_0)}} \quad \dots \dots (6)$$

$$1-\alpha(t) = \frac{(m+1)e^{-a(t-t_0)}}{1 + m e^{-a(t-t_0)}} \quad \dots \dots (7)$$

なが、式(5)(6)(7)の理論曲線と観測データによる結果を対比すれば、図2,3のヒューリックであり、両者はよく合致している。

3. 車頭時間分布モデル 2.で求められた $\alpha(t)$, $1-\alpha(t)$ を用いれば、車頭時間分布を自由車に関するものと、追従車に関するものとに分けざるを得ない。したがって、車頭時間分布の密度関数を $h(t)$ 、自由車、追従車に関する車頭時間分布の密度関数をそれぞれ $f(t)$, $g(t)$ とし、全交通流中に占める自由車の割合を P_f とすれば、車頭時間分布を次のようにもモデル化することができる。

$$h(t) = P_f f(t) + (1-P_f) g(t) \quad \dots \dots \dots (8)$$

$\equiv 1$

$$P_f = \int_{t_0}^{\infty} \alpha(t) h(t) dt, \quad 1-P_f = \int_{t_0}^{\infty} [1-\alpha(t)] h(t) dt$$

あるには、別法として、図4に示す $\alpha(t)$ の定義より、 $h(t) \propto f(t), g(t)$ の関係を次式のように導くこともできる。

$$h(t) = \frac{P_f}{d(t)} f(t) \quad \dots \dots \dots (9)$$

$$h(t) = \frac{1-P_f}{1-d(t)} g(t) \quad \dots \dots \dots (10)$$

4. 実測データによるモデルの評価

式(8)(9)(10)に示されるモデルに対して、 $f(t)$

として、ガウス分布、

指數分布、対数正規分布、

$g(t)$ として、ガウス

分布、対数正規分布

を仮定して、その適合性を検討した。その1例として、交通

量590vphに対する各分布の評価結果を図6.7に示す。

また分布モデルの適合度検定結果が表1に示されている。

検定の結果、今回検討したデータに対する、自由車、追従車のいずれに対しても、対数正規分布を用いたものが最も適合が良いという結果が得られた。

5. まとめ 本研究では、車頭時間分布を自由車、追従車のそれに基づいて記述し、定式化することを提案した。追越禁止区間で得られるデータに対する結果は以下の通りである。その結果、交通流は相対速度分布の分散を指標として導かれた自由車率 $\alpha(t)$ により、自由車、追従車とに分離可能であり、追越禁止区間の交通流に対する、自由車、追従車ともに、対数正規分布を適用して複合分布モデルになり、車頭時間分布が最も良く表現されたことが明らかになった。

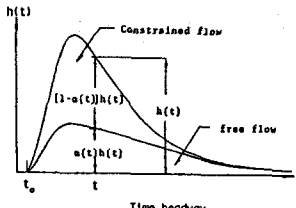


図4. 車頭時間分布構成

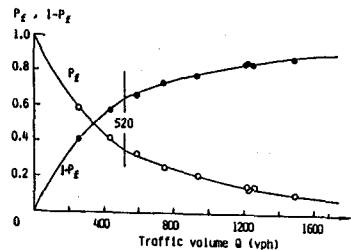


図5. P_f と交通量との関係

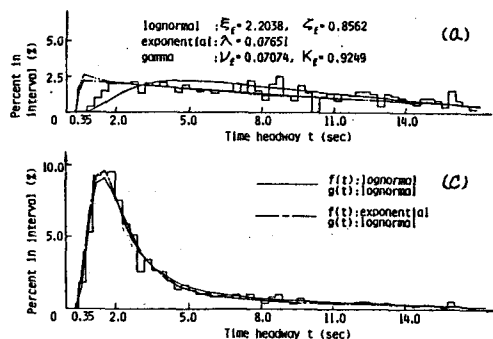
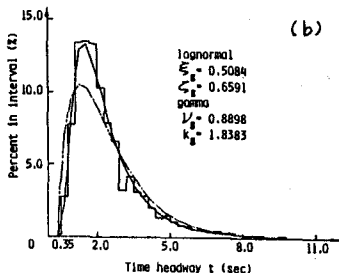


図6. モデル式(8)データへの適用。 (a)自由車 (b)追従車 (c)全体 ($Q=590\text{vph}$)

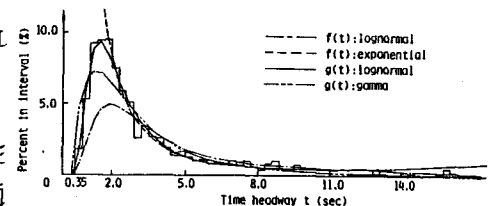


図7. モデル式(9)(10)のデータへの適用 ($Q=590\text{vph}$)

Date No.	Traffic Volume (vph)	Model 1				Model 2					
		d.f.	χ^2	Good Fit	K-S	d.f.	χ^2	Good Fit	K-S		
1	254	14	23.3	Yes	0.037	Yes	15	30.0	No	0.075	No
2	436	16	23.8	Yes	0.022	Yes	17	34.8	No	0.049	No
3	590	15	23.4	Yes	0.023	Yes	16	34.2	No	0.026	Yes
4	747	15	17.6	Yes	0.017	Yes	16	45.7	No	0.048	No
5	938	14	22.3	Yes	0.020	Yes	15	39.0	No	0.021	Yes
6	1216	20	14.5	Yes	0.020	Yes	12	28.4	No	0.040	No
7	1363	10	13.0	Yes	0.009	Yes	11	26.3	No	0.027	Yes

表1. 複合分布モデル式(8)の適合度検定結果

(Model 1 : $f(t)$:対数正規分布, $g(t)$:対数正規分布)
(Model 2 : $f(t)$:指數分布, $g(t)$:対数正規分布)